

九州大学工学部

学生員 ○中野計雄

正員 大塚久哲

吉村虎蔵

1. まえがき 本研究は、扇形床版、曲線主桁および横桁の構成要素間の偏心結合を考慮した曲線箱析橋の一解析法を提示し、あわせてこの種構造物の荷重分配性状について考察するものである。

2. 解法 扇形床版の剛性方程式を有限帯板法(FSM)により、曲線主桁のそれをフーリエ級数展開により、横桁のそれを有限要素法(FEM)によりそれぞれ求め、扇形床版と曲線主桁のうする構造(以下、基本構とす)は、通常の FSM により解析できる。横桁と有する曲線箱析橋では、偏心結合法により基本構と横桁間に作用する結合力を求め、外荷重とこの結合力を同時に基本構に作用させて解析する。(詳しくは、文献1) 参照)

(a) 曲線主桁および扇形床版の剛性方程式

図-1 は、箱析とそれに隣接する床版部分を示す。図中 I-A, B-J は、扇形帶板要素とするが A~B 間の床版は、箱析と一緒にと考えて断面変形のない一本の薄肉曲線橋げたとみなす。曲線箱析の因心 O に関する着目項の剛性方程式は、次式で与えられる。

$$\{S_m^A\} | S_m^B \} = \{P_m^A\} \dots (1)$$

ここに $\{S_m^A\} = \{u_m^A, v_m^A, w_m^A, \psi_m^A\}^T$, $\{P_m^A\} = \{P_{m,1}, P_{m,2}, P_{m,3}, P_{m,4}\}^T$ ($\{S_m^A\}$ は文献1) 参照)

この剛性方程式は、節線 A の変位 $\{S_m^A\}$ と力 $\{P_m^A\}$ に対するようく表わせる。

$$\{T_m^A\}^T \{S_m^A\} | \{S_m^B\} = \{P_m^A\} \dots (2-a) \quad \text{ただし, } \{S_m^B\} = \{T_m^B\} | \{S_m^A\} \dots (2-b), \quad \{T_m^B\}^T \{P_m^A\} = \{P_m^B\} \dots (2-c)$$

ここと

$$\{T_m^A\} = \begin{bmatrix} 1 & 0 & 0 & Z_A \\ \frac{Z_A k_m}{R_o + Z_A} & \frac{R_o}{R_o + Z_A} & \left(Z_A - \frac{\bar{w}_A}{R_o}\right) \frac{k_m}{R_o + Z_A} & \frac{k_m \bar{w}_A}{R_o} \\ 0 & 0 & 1 & -X_A \\ 0 & 0 & 0 & 1 \end{bmatrix} \dots (2-d)$$

床版要素(I-A)の剛性方程式において、節線 A の変位と力に関する要素中に、式(2-a)を重ねあわせれば箱析の剛性を組み込んだ剛性方程式が求められる。箱析は、断面変形を無視(剛体変位)するから、節線 B の変位 $\{S_m^B\}$ 、力 $\{P_m^B\}$ は、節線 A のそれらと互いに独立ではなく、基本構の全剛性方程式から $\{S_m^B\}$ と $\{P_m^B\}$ を消去する必要がある。節線 A の下 B 間の変形あるいは力の関係をそれぞれ求めれば、次式をうる。

$$\{S_m^B\} = \{T_m^{AB}\} | \{S_m^A\} \dots (3-a), \quad \{P_m^B\} = \{T_m^{AB}\}^T \{P_m^A\} \dots (3-b)$$

ここと

$$\{T_m^{AB}\} = \begin{bmatrix} 1 & 0 & 0 & (Z_B - Z_A) \\ \frac{k_m (Z_B - Z_A)}{R_o + Z_B} & \frac{R_o + Z_A}{R_o + Z_B} & \frac{k_m}{R_o} \left\{ \frac{R_o + Z_A}{R_o + Z_B} (Z_B - \frac{\bar{w}_B}{R_o}) - Z_A + \frac{\bar{w}_A}{R_o} \right\} & \frac{k_m}{R_o} \left\{ (\bar{w}_B - \bar{w}_A) + \frac{1}{R_o} (\bar{w}_B Z_A - \bar{w}_A Z_B) + (Z_B Z_A - Z_A Z_B) \right\} \\ 0 & 0 & 1 & (Z_A - Z_B) \\ 0 & 0 & 0 & 1 \end{bmatrix} \dots (3-c)$$

式(3)を用いて式(4)で与えられる要素(B-J)の剛性方程式から $\{S_m^B\}$, $\{P_m^B\}$ を消去すれば式(5)をうる。

$$\begin{cases} \{K_m^{BB}\} | K_m^{BJ} \} \{ \{S_m^B\} \} = \{ \{P_m^B\} \} \dots (4) \\ \{K_m^{AB}\} | K_m^{AJ} \} \{ \{S_m^B\} \} = \{ \{P_m^B\} \} \dots (4) \end{cases} \quad \begin{cases} ((T_m^{AB})^T | K_m^{BB}) | T_m^{AB} |^{-1}, (T_m^{AB})^T | K_m^{BJ}) | T_m^{AB} |^{-1} \\ ((T_m^{AB})^T | K_m^{BB}) | T_m^{AB} |^{-1}, (T_m^{AB})^T | K_m^{AJ}) | T_m^{AB} |^{-1} \end{cases} \{ \{S_m^A\} \} = \{ \{P_m^A\} \} \dots (5)$$

(b) 橫断筋交点と底版筋線の力と変位の関係

図-1の重心と横断筋交点A', B'あるはO-A'-B'と同断面内にある筋線A上の点(この点をAと表記する。)の力の関係式は、次のようになる。

$$\{P_A\} = [A_A] \{P_A\} \cdots (6-a), \quad \{P_B\} = [A_{A'}] \{P_A\} \cdots (6-b), \quad \{P_B\} = [A_{B'}] \{P_B\} \cdots (6-c)$$

ここで $\{P_A\} = \{P_{Ax}, P_{Ay}, P_{Az}\}$, P_{Ax} は、重心Oの荷線方向たわみ角 α に対応するモーメントを示す。

$$[A_A] = \begin{bmatrix} 1 & 0 & 0 & 0 \\ 0 & 1 & 0 & 0 \\ -Z_A & Z_A & 1 & 0 \\ 0 & 0 & 0 & 1 \end{bmatrix}, \quad [A_{A'}] = \begin{bmatrix} 1 & 0 & 0 & 0 \\ 0 & 1 & 0 & 0 \\ -Z_A' & Z_A' & 1 & 0 \\ 0 & 0 & 0 & 1 \end{bmatrix}, \quad [A_{B'}] = \begin{bmatrix} 1 & 0 & 0 & 0 \\ 0 & 1 & 0 & 0 \\ -Z_B' & Z_B' & 1 & 0 \\ 0 & 0 & 0 & 1 \end{bmatrix}$$

式(6)を用いれば、 $\{P_A\}$ と $\{P_A\}$, $\{P_A\}$ と $\{P_B\}$ の関係は次式で示される。

$$\{P_A\} = [A_A] \{P_A\} = [A_A] \{P_A\} \cdots (7-a), \quad \{P_A\} = [A_A] \{P_A\} = [A_{A'}] \{P_B\} \cdots (7-b)$$

すて、仮想仕事の原理より、 $\{\delta A\} = [A_A] [A_{A'}]^T \{\delta A\} \cdots (8-a)$, $\{\delta B\} = [A_{A'}] [A_{B'}]^T \{\delta A\} \cdots (8-b)$

式(8)を用いて、筋線変位と筋点変位に変換し、基本構の節点たわみ性行列と横断筋剛性行列を用いれば結合力を求めることができ、式(7)を用いてこの結合力と筋線力に変換し、外荷重と共に基本構に作用させれば、手筋を解くことができる。

(c) 荷重ベクトルの処理

箱桁に作用する荷重は、重心Oに集中して働かせ、それを筋線Aに作用する等価な荷重に置きかえる。

3. 曲線2箱桁橋(図-2)の解析例

(a) 死荷重載荷時

主桁のみからなる構造をSGB-0
主桁・横析からなる構造をSGB-1とするとき、死荷重載荷時の各主桁の直応力、せん断応力を求めれば、図-3, 4をうる。これから、横析の働きのために内桁のたわみ、応力がわずかがら減少することわかる。

(b) 活荷重載荷時

底版、主桁のみからなる構造をCGB
B-0, CGB-0に横析を取り付けた構造をCGB-1とし
て荷重を各主桁に不利となるように載荷(L1, L2)したときの
橋梁横断面のたわみ、各主桁の直
応力、せん断応力を求めれば、図
5, 6, 7をうる。これから横析の働き
そのため、荷重分配が若干良好と
思ふことが、知られる。

参考文献1) 大塚・吉村房坂 平田: 箱構と
筋の偏心配分を考慮した曲線箱桁橋の解析
土木学会論文報告集 259号 1977年3月

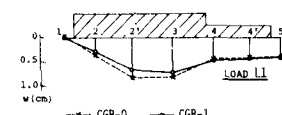
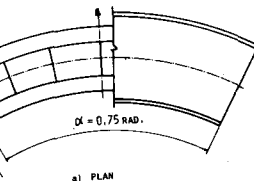


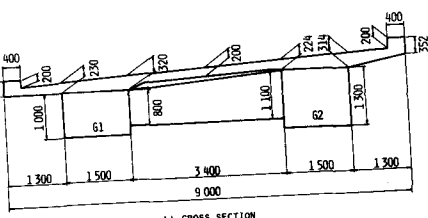
図-5 CGBのたわみ



図-3 SGBの直応力



a) PLAN



b) CROSS SECTION

図-2 曲線2箱桁橋



図-4 SGBのせん断応力

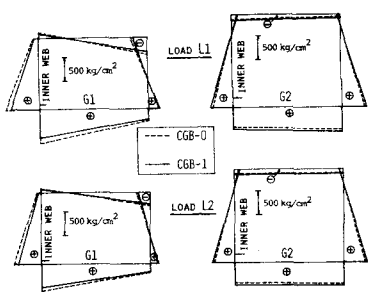


図-6 CGB 直応力

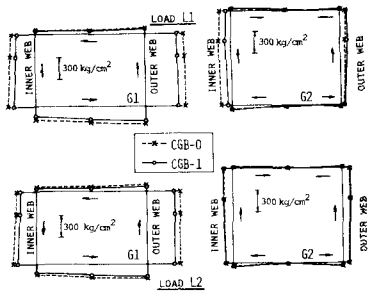


図-7 CGB のせん断応力